

ELEKTRIZITÄT & MAGNETISMUS

Elektrische Ladung / Coulombkraft / Elektrisches Feld

Gravitationsgesetz ($F_G = \text{Gewichtskraft}$)

$F_G = G^* \cdot \frac{m_1 \cdot m_2}{r^2}$ $\vec{F}_G = -G^* \cdot \frac{m_1 \cdot m_2}{r^2} \cdot \frac{\vec{r}}{r}$	<p>m_1 ist die Ursache von F_G</p>
G^*	Gravitationskonstante $G^* = 6.67 \cdot 10^{-11} \frac{Nm^2}{kg^2}$

Coulombgesetz ($F_C = \text{Coulombkraft}$)

$F_C = \frac{1}{4\pi\epsilon_0} \cdot \frac{ Q_1 \cdot Q_2 }{r^2}$ $\vec{F}_C = \frac{1}{4\pi\epsilon_0} \cdot \frac{Q_1 Q_2}{r^2} \cdot \frac{\vec{r}}{r}$		$\frac{1}{4\pi\epsilon_0} = 9 \cdot 10^9 \frac{N \cdot m^2}{C^2}$
---	--	---

Elementarladung e

$e = Q(p^+) = -Q(n^-)$	Ladung ist quantisiert (vielfaches eines Kleinststück, e)	$e = 1.6 \cdot 10^{-19} C$
------------------------	---	----------------------------

Das elektrische Feld \vec{E}

$\vec{E} = \frac{\vec{F}_C}{Q_{pr}}$	<p>$pr = \text{Probe}$</p>	Feldbegriff Q's → Veränderung der Raumeigenschaft = Feld ↓ Wirkung des Feldes = Kraft auf eine Probeladung
--------------------------------------	---------------------------------------	--

Wie wirkt $\vec{E}_{(p)}$ auf eine dort befindliche Ladung Q?

$\vec{F}_C = Q \cdot \vec{E}$	$q = \text{Ladung ohne Vorzeichen}$	<p>$Q_1 = +q$</p>	<p>$Q_2 = +2q$</p>	<p>$Q_3 = -q$</p>
	$Q = \text{Ladung mit Vorzeichen}$			

Das \vec{E} -Feld einer Punktladung Q

$\vec{E} = \frac{1}{4\pi\epsilon_0} \cdot \frac{Q}{r^2} \cdot \frac{\vec{r}}{r}$		
--	--	--

Das \vec{E} -Feld mehrere Punktladung Q

$$\vec{E}(Q_1, Q_2, \dots) = \vec{E}_1(Q_1) + \vec{E}_2(Q_2) + \dots$$

Elektrische Feldlinien


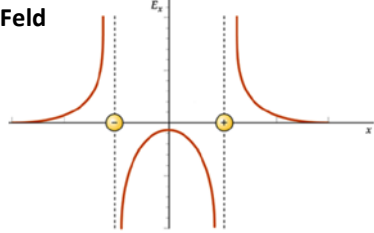
positive Punktladung 	negative Punktladung 	gleichnamige Ladungen 	Dipol
--------------------------	--------------------------	---------------------------	-----------

Gehen vom Plus zum Minus
 Stehen senkrecht auf einer Leiteroberfläche

Feldlinien **kreuzen sich nicht**
 Dichte der Feldlinien proportional zur Feldstärke

Das E-Feld diskreter und kontinuierlicher Ladungsverteilungen

Dipol im homogenen elektrischen Feld

<p>Dipolmoment $\vec{p} = q * \vec{l}$</p>		<p>E-Feld</p> 
<p>Drehmoment $\vec{M} = \vec{p} \times \vec{E}$</p>	<p>Gleich grosse Ladung Entgegengesetzt Dreht sich bis er in Richtung der Feldlinien steht</p>	

E-Feldkontinuierlicher Ladungsverteilung

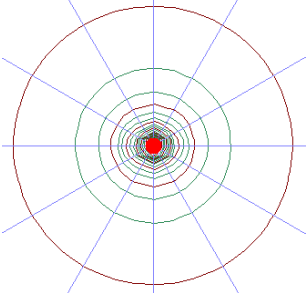
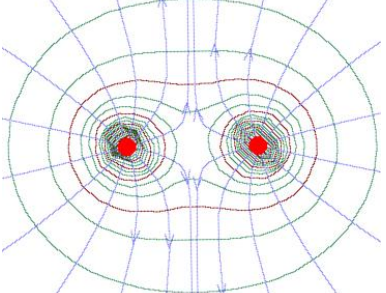
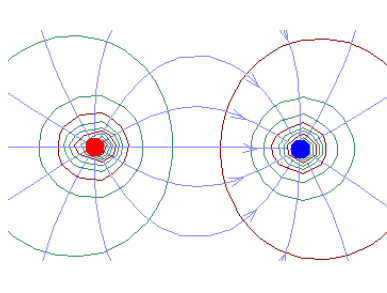
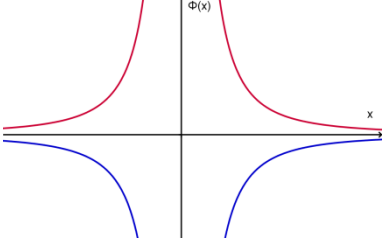
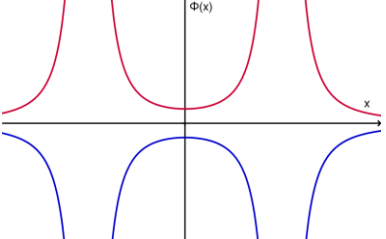
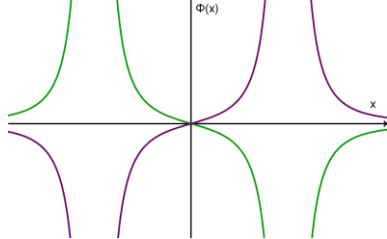
<p>Raumladungsdichte</p>	$\rho = \frac{dq}{dV}$	$\vec{E} = \int_V \frac{1}{4\pi\epsilon_0} * \frac{\rho * dV}{r^2} * \vec{e}_r$
<p>Flächenladungsdichte</p>	$\sigma = \frac{dq}{dA}$	$\vec{E} = \int_A \frac{1}{4\pi\epsilon_0} * \frac{\sigma * dA}{r^2} * \vec{e}_r =$
<p>Linienladungsdichte</p>	$\lambda = \frac{dq}{dl}$	$\vec{E} = \int_l \frac{1}{4\pi\epsilon_0} * \frac{\lambda * dl}{r^2} * \vec{e}_r =$

Das elektrische Potential und die elektrische Spannung

Definition elektrisches Potential

<p>$\phi(P) = \frac{W(\infty \rightarrow P)_{aufzuwendend}}{Q_{pr}}$ $\phi(P) = \frac{W(P \rightarrow \infty)_{freiwerdend}}{Q_{pr}}$</p>	<p>$\left(\phi(P) = \int_P^\infty \vec{E} d\vec{s} \right)$ $W_{pot}^{elektr.} = Q_{pr} * \phi$</p>	<p>Äquipotentialflächen/-linien stehen senkrecht auf elektrischen Feldlinien.</p>
--	---	---

Potentiallinienbilder

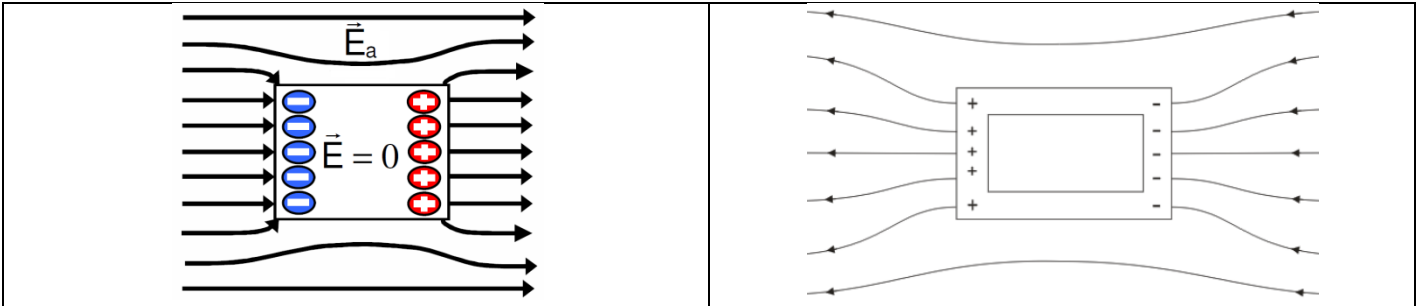
1ner Punktladung	2 gleiche Punktladungen	2 ungleiche Punktladungen (Dipol)
		
		
$\phi(P) = \frac{1}{4\pi\epsilon_0} * \frac{Q}{r}$	$\phi(P) = \frac{Q}{4\pi\epsilon_0} * \left(\frac{1}{r_2} + \frac{1}{r_1} \right)$	$\phi(P) = \frac{q}{4\pi\epsilon_0} * \left(\frac{1}{r_2} - \frac{1}{r_1} \right)$

Elektrische Spannung

<p>Spannung – elektrisches Feld</p>	$U_{12} = \int_1^2 \vec{E} * d\vec{s}$	<p>Spannung ist das Linienintegral der elektrischen Feldstärke</p>
	$U_{12} = E * d$	<p>Beim Plattenkondensator</p>
<p>Spannung – Potential</p>	$U_{12} = \Phi_1 - \Phi_2$	<p>Spannung ist die Potentialdifferenz</p>
<p>Spannung – Arbeit und Ladung</p>	$U_{12} = \frac{W_{12}}{Q}$	<p>Spannung ist die freiwerdende Arbeit einer Ladung</p>

Influenz (Vorgang der Ladungstrennung)

<p>Leiter im homogenen E-Feld (Faraday-Käfig)</p>	<p>Hohlleiter in E-Feld</p>
--	------------------------------------



Das Innere eines Leiters ist stets feldfrei
 Elektrische Feldlinien stehen stets senkrecht auf Leiteroberflächen
 Der Hohlraum im Innern ist feldfrei (auch wenn der Leiter geladen ist)

Influenzgesetz

$Q_i = \epsilon_0 * E * A_p$	Q_i	Influenzierte Ladung	$[Q_i] = C$
	ϵ_0	Influenzkonstante, elektrische Feldkonstante	$\epsilon_0 = 8.85 * 10^{-12} \frac{As}{Vm}$
$Q_i = \epsilon_0 * \vec{E} * \vec{A}$	A_p	projizierte Fläche (in Richtung Feldlinien)	$[A_p] = m$
	D	Verschiebungsdichte	$D = \epsilon_0 * E \quad \vec{D} = \epsilon_0 * \vec{E}$
$D = \sigma$	σ	Flächenladungsdichte	$\sigma = \frac{dQ}{dA}$

Kann auf zwei Arten gelesen werden

Influenzieren von Ladungen	Ungeladener Leiter in einem E-Feld	$D = \sigma$	$\sigma = \epsilon_0 * E$
Erzeugung eines E-Feldes auf Oberflächen	Geladener Leiter ohne zusätzl. E-Feld	$\sigma = D$	$E = \frac{\sigma}{\epsilon_0}$

((E-Feld Berechnungen mit dem Satz von Gauss))

nicht behandelt

Kapazität und elektrische Feldenergie

Kapazität

$C = \frac{Q}{U}$	C	Kapazität	$[C] = F (Farad) = \frac{C}{V}$
-------------------	-----	-----------	---------------------------------

Vorgehen bei Berechnung

E anhand von Q	$\vec{E} = \frac{\vec{F}_C}{Q_{pr}}$	$C = \epsilon * \frac{A}{d}$	$C = 4\pi\epsilon_0 * r_0$
U anhand von E	$U_{12} = \int_1^2 \vec{E} * d\vec{s}$		
C anhand von Q und U	$C = \frac{Q}{U}$		

Speicherung elektrischer Energie

Eines Kondensators	$W_{tot} = \frac{1}{2} C * U_0^2$	Energiedichte w des elektrischen Feldes
		$w = \frac{dW}{dV} \quad w = \frac{1}{2} \epsilon_0 * E^2 = \frac{1}{2} D * E$

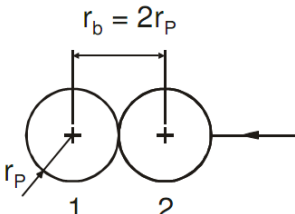
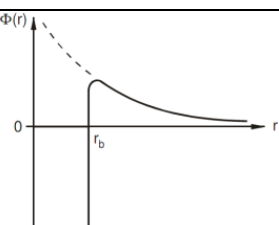
Dielektrika - Isolatoren im elektrischen Feld

$\epsilon_r = \frac{Q_m}{Q_0} = \frac{C_m}{C_0}$ $\epsilon = \epsilon_r * \epsilon_0$	ϵ_r	relative Dielektrizitätskonstante	$\epsilon_r = 1$ bei Luft
	Q_m, C_m	mit Materie	
	Q_0, C_0	ohne Materie	

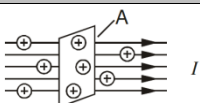
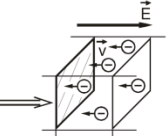
Verschiebungsdichte in Materie

$$\vec{D} = \epsilon * \vec{E}$$

Bewegte elektrische Ladungen

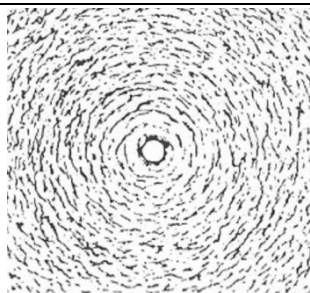
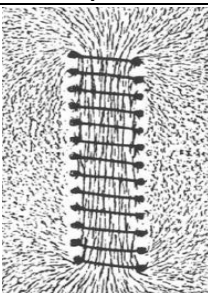
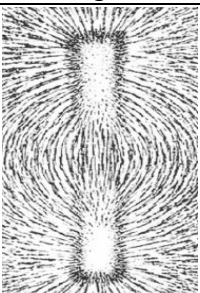
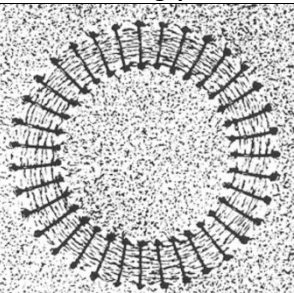
<p>Elektronenvolt</p> $1eV = e * 1V = 1.602 * 10^{-19}J$	<p>Coulombbarriere</p> 	
---	---	---

Der elektrische Strom

	<p>Definition der Stromstärke</p> $I = \frac{dQ}{dt}$	<p>I</p>	<p>Strom</p>	<p>[I] = A</p>
	<p>nur negativ</p> $I = e * A * v_- * n_-$ <p>negativ und positiv</p> $I = eA(v_-n_- + v_+n_+)$	<p>A</p> <p>n₋, n₊</p> <p>v₋, v₊</p>	<p>Fläche im Leiter</p> <p>Elektronendichte neg./pos.</p> <p>Geschwindigkeit neg./pos. e⁻</p>	<p>[Q] = C = A * s</p> <p>[t] = s</p> <p>[A] = m</p> <p>$\frac{m}{s}$</p>
	<p>Definition der Stromdichte</p> $J = \frac{dI}{dA}$ $J = e * (v_-n_- + v_+n_+)$	<p>J</p>	<p>Stromdichte</p>	<p>[J] = ...</p>
	$\vec{j} = \gamma * \vec{E}$	<p>γ</p>	<p>spezifische Leitfähigkeit</p>	<p>[γ] = $\frac{1}{\Omega m}$</p>
	$\rho = \frac{1}{\gamma}$	<p>ρ</p>	<p>spezifischer Widerstand</p>	<p>[γ] = Ωm</p>

Das Magnetfeld und dessen Wirkung / 1

Feldlinienbilder

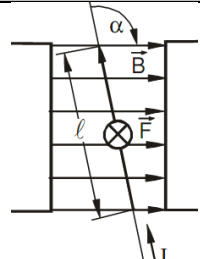
<p>Leiter</p> 	<p>Spule</p> 	<p>Magnet</p> 	<p>Ringspule</p> 
--	---	---	---

Gehen vom **Nordpol** zum **Südpol**
 In sich geschlossen
 Ungleichartige Pole ziehen sich an

Korkenzieherregel bei Kreisstrom



Lorentzkraft (auf eine bewegte Ladung in einem \vec{B} - Feld)

$\vec{F}_L = Q(\vec{v} \times \vec{B})$	<p>Senkrecht zur Geschwindigkeit der Ladung → führt nie zu einer Energiezunahme Wenn v in Richtung von B, erfährt die Ladung keine Kraft Wenn v senkrecht zu B, macht die Ladung eine Kreisbahn</p>		
$B = \frac{F}{I * l}$	<p>B</p> <p>Magnetische Flussdichte</p>	$[B] = \frac{Vs}{m^2} = T (Tesla)$	
$\vec{F} = I * (\vec{l} \times \vec{B})$	<p>F</p> <p>Kraft auf einen geraden stromführenden Leiter</p>		

Das Magnetfeld und dessen Wirkung / 2

Drehmoment auf Leiterschleifen

	$\vec{M} = I * (\vec{A} \times \vec{B})$	\vec{M}	Drehmoment auf Leiterschleife
		\vec{A}	Flächenvektor (gilt für alle diversen Flächen)
	$\vec{M} = N * I * (\vec{A} \times \vec{B})$	\vec{M}	Drehmoment auf eine Spule
	$\vec{m} = N * I * \vec{A}$	\vec{m}	Magnetisches Moment einer Spule
	$\vec{A} \parallel \vec{B}$	$\vec{M} = 0$	
$\vec{A} \perp \vec{B}$	$\vec{M} = maximal$		

Halleffekt

	<ol style="list-style-type: none"> 1. Lorentzkraft wirkt auf e^- nach unten 2. e^- werden nach unten abgelenkt 3. Unten wird es negativ, oben positiv 4. Bewirkt $\vec{E} - Feld$: F_e wirkt nach oben 5. Bis: $F_e = F_L$ 		
	$U_H = v * B * b$ $U_H = \frac{I * B}{n * e * d} = c_H * \frac{I * B}{d}$	U_H Hallspannung $c_H = \frac{1}{en}$ $v = c_H * J$	$[U_H] = V$ $[c_H] = \frac{m^3}{C}$

Quellen des Magnetfeldes / 1

\vec{B} -Feld einer Punktladung

$\vec{B} = \frac{\mu_0}{4\pi} * \frac{q}{r^2} (\vec{v} \times \hat{r})$	\vec{B}	Magnetfeld	$[\vec{B}] = \frac{N}{A * m}$	$\vec{v} \parallel \hat{r}$	$B = 0$
	μ_0	Magnetische Feldkonstante	$\mu_0 = 4\pi * 10^{-7} \frac{N}{A^2}$	$\vec{v} \perp \hat{r}$	$B = max$
	\hat{r}	Einheitsvektor in Richtung r	$\hat{r} = \vec{r}/r$		

Magnetfeld von Strömen (Gesetz von Biot-Savart)

$\vec{H} = \frac{1}{\mu_0} * \vec{B}$	\vec{H}	\vec{H} -Feld: Magnetische Feldstärke	$[\vec{H}] = \frac{A}{m}$
$dH = \frac{1}{4\pi} * \frac{I}{r^2} (d\vec{l} \times \hat{r})$	Gesetz von Biot-Savart		

H-Felder

<p>für Leiter in einer Ebene</p> $H = \frac{I}{4\pi} \int \frac{\sin \alpha}{r^2} dl$	<p>im Zentrum eines Kreisstroms</p> $H = \frac{I}{2r}$	<p>\vec{H}-Feld eines geraden Leiterstücks</p> $H = \frac{I}{4\pi a} (\cos \alpha_1 - \cos \alpha_2)$ <p>sehr langen Leiter $H = \frac{I}{4\pi} * \frac{2}{a}$</p>
--	---	--

Kraftwirkung zwischen 2 || Leitern

	$\vec{F}_2 = I_2 * (\vec{l} \times \vec{B}_1)$ <p>Gleichgerichtete parallele Ströme ziehen sich an, entgegengesetzte parallele Ströme stoßen sich ab.</p>
--	---

Quellen des Magnetfeldes / 2

B-Feld des geraden Leiters

	$\oint \vec{B} * d\vec{s} = \mu_0 * I$	\oint	Linienintegral einer geschlossenen Kurve
		μ_0	Proportionalitätskonstante
(gilt für einen beliebigen geschlossenen Integrationsweg)			

Durchflutungsgesetz (Magnetfeld von Strömen)

$\oint \vec{B} * d\vec{s} = \mu_0 * \theta$ Magnetische Spannung $U_M = \oint \vec{H} * d\vec{s} = \theta$	Einen Strom	Mehrere Ströme	Allgemein
	$\oint \vec{B} * d\vec{s} = \mu_0 * I$	$\oint \vec{B} * d\vec{s} = \mu_0 * \sum_{j=1}^n I_j$	$\oint \vec{B} * d\vec{s} = \mu_0 * \int_A \vec{j} * d\vec{A}$

Magnetfelder

langer, dicker, gerader Leiter	Kreisringspule	lange, dünne Zylinderspule
im Aussenraum ($r > R$) $B(r) = \frac{\mu_0 * I}{2\pi} * \frac{1}{r}$	im Zwischenraum ($r < r_a$) $B(r) = \frac{\mu_0 * N * I}{2\pi} * \frac{1}{r}$	$B(r) = \frac{\mu_0 * N * I}{l}$
im Innenraum ($r < R$) $B(r) = \frac{\mu_0 * I * r}{2\pi * R^2}$	im Innen-/Aussenraum ($r > R_a, r < R_i$) $B(r) = 0$	

Die magnetische Induktion / 1

Magnetischer Fluss

Definition $\phi_m = \int \vec{B} * d\vec{A} = \int B * \cos \varphi * dA$ Durchdringt ein Magnetfeld eine Fläche, so entsteht einen magnetischen Fluss	3 Arten zum verändern	
	1. Magnetische Flussdichte \vec{B} 2. Winkel phi zwischen \vec{A} und \vec{B} 3. Grösse der Fläche \vec{A}	Trafospennungen Bewegungsspennungen

Induktionsgesetz

integrale Form (Spannungsschoss)	differentiale Form
$\int_{t_v}^{t_n} u_i(t) * dt = -N * \Delta \phi_m$ $t_n, t_v = \text{Zeit nachher, vorher}$	$u_i(t) = -N * \frac{d\phi_m}{dt}$ $\Delta \phi_m = \phi_m(t_n) - \phi_m(t_v)$

Vergleiche

Kraftstoss	Momentenstoss	Lenz'sche Regel
$\int F(t) * dt$	$\int M(t) * dt$	<p>Der induzierte Vorgang läuft immer so ab, dass er der Ursache der Induktion entgegenwirkt.</p>

Bewegungsspennungen (Induktion durch Bewegung)

Leiterschleife mit beweglichem Bügel $u_i(t) = B * l * v$	Drehung einer Leiterspule $u_i(t) = N * B * A * \omega * \sin(\omega t)$
---	--

Die magnetische Induktion / 2

<p>Trafospannungen (Änderung des \vec{B}-Feldes)</p> <p>Probepule im B-Feld</p> $u_i(t) = -\mu_0 * A_{pr} * N_{pr} * \frac{N}{l} * \frac{dI(t)}{dt}$	<p>Idealer Transformator</p> $U_2 = \frac{N_2}{N_1} * U_1$ $I_2 = \frac{N_1}{N_2} * I_1$
---	---

<p>Selbstinduktion</p> $L(\text{Induktion}), [L] = \frac{Vs}{A} = H(\text{Henry})$ <p>Spule als Generator $u_i(t) = -L * \frac{di(t)}{dt}$ Spule als Verbraucher $u_i(t) = +L * \frac{di(t)}{dt}$</p> <p>Induktion einer langen und dünnen Spule</p> $L = \mu_0 * \frac{N^2 A}{l}$	<p>Konsequenzen einer Induktivität</p> <div style="display: flex; justify-content: space-around;"> <div style="text-align: center;"> <p>rein ohmscher Kreis</p> </div> <div style="text-align: center;"> <p>Kreis mit Induktivität „Trägheit gegenüber Stromänderungen“</p> </div> </div>
--	--

<p>Energie im Magnetfeld</p> <p>beim Einschalten</p> $W_{ein} = \frac{1}{2} L * I_0^2$	$W = \frac{1}{2} \mu_0 H^2 * V = \frac{1}{2} B * H * V$	<p>Elektrisches Wirbelfeld</p>	$u_i(t) = \oint \vec{E} * d\vec{s}$ $u_i(t) = - \frac{d\phi_m}{dt}$
$w = \frac{dW}{dV}$	$w = \frac{1}{2} \mu_0 H^2 = \frac{1}{2} B * H$		

<p>Verschiebungsstrom i_v (ist kein echter Strom)</p>	$i_v = A * \frac{dD}{dt}$ <p>In einem idealen Leiter oder einem idealen Isolator ist:</p> $i_v = 0$
---	---

Magnetismus in Materie

ohne Material	$B_o = \mu_0 * H$	(= im Vakuum)
mit Material	$B_m = \mu_r * B_o$	$B_m = \mu_r * \mu_0 * H = \mu * H$

Definitionen

$\mu = \mu_r * \mu_0$	μ_r	relative Permeabilität	[μ_r] = (...)
	μ	absolute Permeabilität	
$J = B_m - B_o$	$J = (\mu_r - 1) B_o$	J	Magnetisierung des Materials
$J = \chi * B_o$	$\chi = \mu_r - 1$	$\chi(\text{chi})$	Suszeptilität

Magnet-Klassen

Klasse	Diamagnete	Paramagnete	Ferromagnete (Permanentmagnete)
Beispiele	<i>Bi, Cu, H₂O</i>	<i>Al, W, Ti, Pl</i>	<i>Fe, Co</i>
Verhalten gegenüber Magnetfelder	versuchen zu entfliehen	werden hinzugezogen	werden stark hingezogen
μ_r	etwas unter 1 (10^{-5})	etwas über 1 (10^{-5})	weit über 1 ($10^2, 10^5$)
	$\mu_r \lesssim 1$	$\mu_r \gtrsim 1$	$\mu_r \gg 1$
	$B_m \lesssim B_o$	$B_m \gtrsim B_o$	$B_m \gg B_o$
	$\chi = \text{neg}$	$\chi = \text{pos}$	$\chi = \text{pos}$
Ursache	Lenz: $i_i \rightarrow \vec{B}_i$ $B_i \downarrow B_o$	Vorhandene Dipole richten sich aus $B_i \uparrow B_o$	Weiss'sche Bezirke Hysterese

Entmagnetisierung

Durch Wechselstrom (von 50Hz herunterfahren)	Temperatur erhöhen, über Curie-Temperatur
--	---